

## Referências bibliográficas

AMIN, K. 1993. Option Valuation with Systematic Stochastic Volatility. *The Journal of Finance*, Volume 48, Issue 3.

BLACK, F. & SCHOLES, M. The pricing of options and corporate liabilities. *Journal of political economy*. v. 81, 1973.

BERNSTEIN, P. 1996. *Against the Gods: The Remarkable Story of Risk*. John Wiley & Sons. New York, NY.

BESSADA, O.; BARBEDO, C. e ARAÚJO, G. 2007. *Mercado de Derivativos no Brasil*. Editora Record.

BODIE, K.M. 2005. *Investments*. Irwin/McGraw-Hill International, 6th Edition.

BOLLERSLEV, T. 1986. Generalized Autoregressive Conditional Heterocedasticity, *Journal of Econometrics*, 31, 307-327.

BRAGA, A. de P.; CARVALHO, A.P. de L. e LUDERMIR, T.B. *Fundamentos de Redes Neurais Artificiais; 11º Escola de Computação - Rio de Janeiro*. DCC/IM, COOPE/Sistemas, NCE/UFRJ, 1999.

BURGHART, G. & LANE, M. 1990. How to Tell If Options Are Cheap. *Journal of Portfolio Management*, 16:72-78.

CAPOCCI, D. 2007. *The Sustainability in Hedge Fund Performance: New Insights*. HEC-ULg Management School, University of Liege, France.

CASTRO, J. 2008. *Otimização da Performance de um Portfólio de Ativos e Opções Reais utilizando a Medida Omega*. Tese de Doutorado, PUC-Rio.

DAMODARAN, A. *Investment Valuation: Tools and Techniques for Determining the Value of Any Asset*. Editora John Wiley & Sons, 2ª Edição, 2002.

ENDERS, W. 2004. *Applied Econometric Time Series*. John Wiley & Sons. Second Edition.

ENGLE, R.F. 1982. Autoregressive Conditional Heterocedasticity with Estimates of the Variance of United Kingdom Inflation. *Econometrica*, 50, 987-1008.

FADLALLA & LIN. 2001. An Analysis of Applications of Neural Networks in Finance. *Interfaces* 31.

FARIA, E.; ALBUQUERQUE, M.P.; GONZALEZ, J.; CAVALCANTE, J. & ALBUQUERQUE, M.P. 2009. Predicting the Brazilian stock market through neural networks and adaptive exponential smoothing methods. *Expert Systems with Applications*, 36.

FERREIRA, F. e RIBEIRO, C. 2006. Gestão de Carteiras de Investimento com Opções. Universidade de São Paulo. XIII SIMPEP.

FLETCHER, R. 2000. *Practical Methods of Optimization*. John Wiley & Sons, Inc. University of Dundee, Scotland.

HAUPT, R. & HAUPT, S. 2004. *Practical Genetic Algorithms*. 2nd Edition. John Wiley & Sons, Inc.

HAYKIN, S. 2000. *Redes Neurais - Princípios e prática*; 2º edição; editora Bookman.

HESTON, S. 1993. A Closed-Form Solution for Options with Stochastic Volatility with Applications to Bond and Currency Options. *The Review of Financial Studies*, Vol. 6, Number 2.

HOLLAND, J. Genetic algorithms. *Scientific American*, July 1992, p. 66-72.

HULL, J. *Options, futures and other derivative securities*. Englewood Cliffs: Prentice Hall. 1997.

HULL, J. & WHITE, A. 1987. The Pricing of Options on Assets with Stochastic Volatilities. *Journal of Finance*, 42.

Morgan, J.P. RiskMetrics. *Technical Document*, New York, 1996.

KAZEMI, H.; SCHNEEWEIS, T. & GUPTA, R. 2003. Omega as a Performance Measure. Isenberg School of Management, University of Massachusetts, Amherst.

KEATING, C. & SHADWICK, W.F. 2002. A Universal Performance Measure. *The Finance Development Centre*, London.

KELLEY, C. 2003. *Solving Nonlinear Equations with Newton's Method*. Society for Industrial and Applied Mathematics. Philadelphia, USA.

KIM, M.J.; MIN, S.H. & HAN, I. 2006. An evolutionary approach to the combination of multiple classifiers to predict a stock price index. *Expert Systems with Applications*, 31.

KO, P.C. & LIN, P.C. 2006. An evolution-based approach with modularized evaluations to forecast financial distress. *Knowledge-Based Systems*, 19.

KOVÁCS, Z. 2006. *Redes Neurais Artificiais, Fundamentos e Aplicações*. Quarta Edição. Editora Livraria da Física.

- LAZO, J.G.L. 2000. Sistema Híbrido Genético-Neural para Montagem e Gerenciamento de Carteiras de Ações. Dissertação de Mestrado, PUC-Rio.
- LI, D. & NG, W.L. 2000. Optimal Dynamic Portfolio Selection: Multi-Period Mean-Variance Formulation. *Mathematical Finance*, 10.
- MARKOWITZ, H. 2001. Portfolio Selection: Efficient Diversification of Investments. 2nd edition. John Wiley & Sons, Inc. Massachusetts, USA.
- MERTON, R. 1971. Optimum Consumption and Portfolio Rules in a Continuous-Time Model. *Journal of Economic Theory*, 3.
- MERTON, R. 1973. Theory of Rational Option Pricing. *Bell Journal of Economics and Management Science*.
- MOSSIN, J. 1968. Optimal Multi-Period Portfolio Policies. *Journal of Business*, 41.
- NAG, A.K. & MITRA, A. 2001. Forecasting daily foreign exchange rates using genetically optimized neural networks. *Journal of Forecasting*, Chichester, 21.
- NATENBERG, S. 1994. Option Volatility & Pricing. McGraw-Hill.
- O'CONNOR, N. & MADDEN, M.G. 2006, September. A neural network approach to predicting stock exchange movements using external factors. *Knowledge-Based Systems*, 19
- PLISKA, S. 1986. A Stochastic Calculus Model of Continuous Trading: Optimal Portfolios. *Mathematics of Operations Research*, 11.
- RAO, S. 1996. Engineering Optimization Theory and Practice. Third Edition. John Wiley & Sons, Inc. Purdue University, Indiana, USA.
- SHARPE, W. 1966. Mutual Fund Performance. *Journal of Business*, 39: 119-138.
- SORTINO, F. & PRICE, L. 1994. Performance Measurement in a Downside Risk Framework. *Journal of Investing*, 3: 59-65.
- SINCLAIR, E. 2008. Volatility Trading. John Wiley & Sons, Inc.
- SIVANANDAM, S.N. & DEEPA, S.N. 2008. Introduction to Genetic Algorithms. *Springer Berlin Heidelberg*, New York.
- VELLASCO, M.M.B.R. e PACHECO, M.A.C. 2007. Sistemas de Apoio a Decisão: Análise Econômica de Projetos de Desenvolvimento de Campos de Petróleo sob Incerteza. Editora PUC-Rio.
- VORST, T. Optimal Portfolios under a Value at Risk Constraint. Erasmus University Rotterdam.

WHITE, R.C. A Survey of Random Methods for Parameter Optimization. Simulation. November 1971, Technological University Eindhoven, Netherlands vol. 17, no. 5, p. 197-205.

WIKIPEDIA. Moving Average. [http://en.wikipedia.org/wiki/Moving\\_average](http://en.wikipedia.org/wiki/Moving_average).

YOUNG, T.W. 1991. Calmar Ratio: A Smoother Tool, Futures (magazine).

## 10

### Apêndices

#### 10.1

##### Apêndice 1: Método de Newton-Raphson

“Em análise numérica, o método de Newton-Raphson, atribuído a Sir Isaac Newton e Joseph Raphson, tem o objetivo de estimar as raízes de uma função” (Kelley 2003). Este é considerado por muitos autores o melhor método para encontrar sucessivas e melhores aproximações de raízes (ou zeros) de uma determinada função real. A convergência frequentemente é rápida, em especial se a estimativa inicial está "suficientemente próximo" da raiz da função.

Algoritmo:

Trabalha-se com uma expansão da função  $f(y)$  em torno da raiz, onde essa expansão em torno de um ponto  $y=x$  é dada pela Eq. (43):

$$F(y) = f(x) + (y - x) f'(x) + (y - x)^2 f''(x)/2 \quad \text{Eq. (43)}$$

Pode-se usar esta aproximação para calcular o valor da função para a raiz  $\alpha$ . Desprezando-se os termos a partir de segunda ordem, obtém-se a Eq. (44):

$$f(\alpha) = f(x) + (\alpha - x) f'(x) \quad \text{Eq. (44)}$$

Como  $f(\alpha) = 0$ , tem-se a seguinte aproximação, Eq. (45):

$$\alpha = x - \frac{f(x)}{f'(x)} \quad \text{Eq. (45)}$$

Com o método de Newton-Raphson, usando esta equação de forma iterativa, se obtêm aproximações sucessivas da raiz (Figura 48).

$$x_{i+1} = x_i - \frac{f(x)}{f'(x)} \quad \text{Eq. (46)}$$

A Eq. (46) também é chamada de "forma tangente". Se a forma algébrica de  $f(x)$  for conhecida,  $f'(x)$  também pode ser conhecida a priori, permitindo o uso deste método. Quando a derivação se torna muito complicada, pode-se usar uma aproximação da derivada, como a Eq. (47):

---

Eq. (47)

A "forma secante" de Newton-Raphson é obtida substituindo esta aproximação, obtendo a Eq. (48) :

---

Eq. (48)

A diferença entre ambas as equações é que para a primeira iteração, na Eq.(48), são necessários dois valores iniciais.

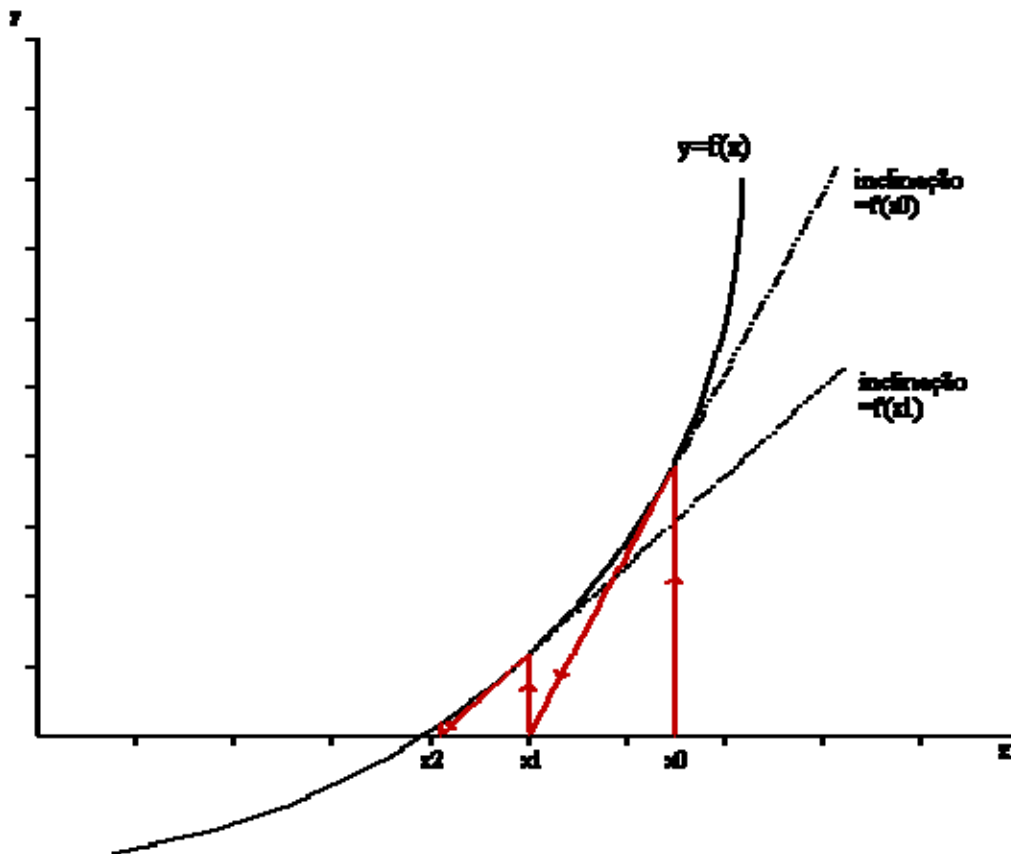


Figura 48 – Exemplo das iterações do Método de Newton

## 10.2

### Apêndice 2: *Moneyness* de uma opção financeira

Em finanças, *moneyness* é uma medida da probabilidade de que um derivativo tem de ter algum valor financeiro na data do seu vencimento. Ele pode ser medido em percentual de probabilidade, ou em desvios-padrão. (Bessada, Barbedo e Araujo, 2007)

Pode-se definir *moneyness* então da seguinte forma, Eq. (49):

$$m = \frac{\ln(S/K) + rT}{\sigma\sqrt{T}} \quad \text{Eq. (49)}$$

Onde:

**S** é o preço atual do ativo

**K** é o preço de exercício da opção

**r** é a taxa de juros livre de risco

**T** é o tempo para o exercício

**$\sigma$**  é a volatilidade

Opções At-the-money (no dinheiro): “Uma opção é dita no dinheiro quando o seu preço de exercício é o mesmo que o preço atual do ativo” (Hull, 1997). Essa opção não tem nenhum valor intrínseco, somente temporal. O *moneyness* de uma opção no dinheiro é zero.

Opções In-the-money (dentro do dinheiro): Uma opção é dita “dentro do dinheiro” quando o seu preço de exercício é menor que o valor atual do ativo para uma CALL (a relação para a PUT é inversa). Essa opção tem alta probabilidade de ter valor financeiro no seu vencimento. O *moneyness* é positivo para uma CALL dentro do dinheiro (negativo para PUT).

Opções Out-of-the-money (fora do dinheiro): Uma opção é dita “fora do dinheiro” quando o seu preço de exercício é maior que o valor atual do ativo para uma CALL (a relação para a PUT é inversa). Essa opção tem baixa probabilidade de ter valor financeiro no seu vencimento. O *moneyness* é negativo para uma CALL dentro do dinheiro (positivo para PUT).

### 10.3

#### Apêndice 3: Cone de Volatilidade

“O objetivo de um cone de volatilidade é ilustrar as faixas de volatilidade verificadas no passado para diferentes períodos de análise” (Burghart, Lane, 1990). Cones de volatilidade servem como benchmark para visualizar se a volatilidade atual do ativo está alta ou baixa em relação ao seu histórico.

Pode-se ver abaixo na Figura 49 um exemplo de um cone de volatilidade do ativo BBDC4 formado no dia 20/09/2007. Para a construção do cone abaixo utilizou-se as volatilidades máximas, mínimas e médias realizadas nos 6 meses anteriores para períodos de cálculo de 15 dias, 30 dias, 45 dias e 60 dias.

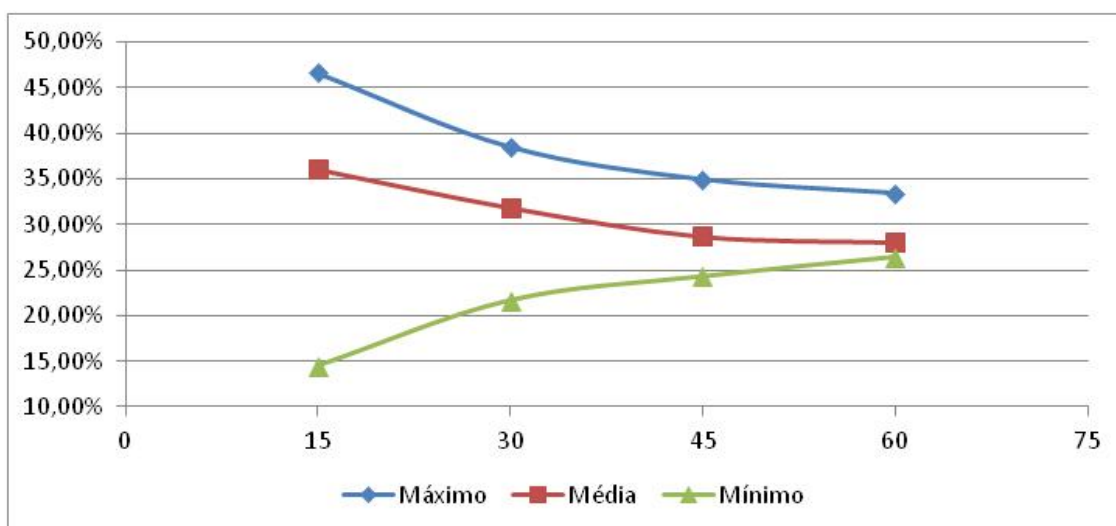


Figura 49 – Exemplo de Cone de volatilidade para o ativo BBDC4 no dia 20/09/2007

Quando ilustrado graficamente pode-se ver porque esse método é chamado de “cone”, alguns estudos traçam também certos percentis da volatilidade para cada período de cálculo. O cone mostra a tendência que volatilidades de curto prazo têm de oscilar mais do que volatilidades de longo prazo.

O cone de volatilidade dá mais informação do que uma previsão de um simples ponto específico de volatilidade no tempo, quando se compara com a volatilidade implícita de uma opção. Achar que a volatilidade implícita de uma opção a 17% está sobre-avaliada quando se têm uma previsão por GARCH de 13% pode não fazer tanto sentido quando se constrói um cone e verifica-se que a volatilidade histórica variou entre 10% e 25% nos últimos 6 meses. Considerando



a característica de reversão a média da volatilidade, uma estratégia mais sensata seria considerar uma volatilidade implícita sobre-avaliada quando a mesma está acima do 80% percentil e sub-avaliada quando está abaixo do 20% percentil do cone de volatilidade, por exemplo.

## 10.4

### Apêndice 4: Gregas das Opções

A seguir apresentamos as diversas medidas de sensibilidade das opções, as letras gregas, de acordo com Bessada, Barbedo e Araujo (2007).

- Delta: Variação no preço da opção dada uma variação de R\$1,00 no preço do ativo objeto. O delta também é a probabilidade de exercício da opção, logo quanto mais “dentro do dinheiro” maior o delta.
- Gamma: Mede a variação do Delta em relação à variação de R\$1,00 no preço do ativo-objeto.
- Vega: Mede a variação do preço da opção dada uma variação de 1% na volatilidade.
- Theta: Mede quanto o preço da opção perde por dia com o decorrer do tempo até o vencimento (um dia).
- Rho: Mede a variação do prêmio da opção em relação a variação de 1% na taxa de juros.

## 10.5

### Apêndice 5: Curvas de Evolução das Otimizações

Nas figuras 50, 51 e 52 podemos ver as curvas de evolução das otimizações das carteiras por algoritmos genéticos, com as três funções objetivo diferentes, para o estudo de caso 2 com custos operacionais. As otimizações são pausadas quando se alcança o número máximo de ciclos, mesmo se uma convergência total não for alcançada.

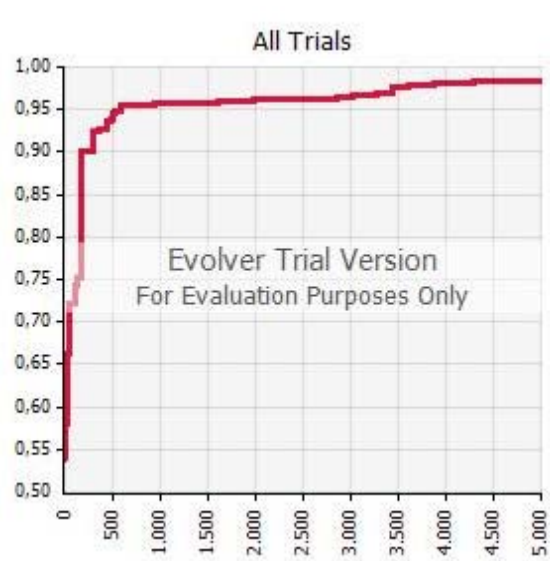


Figura 50 – Evolução do resultado da carteira otimizada pela função Probabilidade Máxima

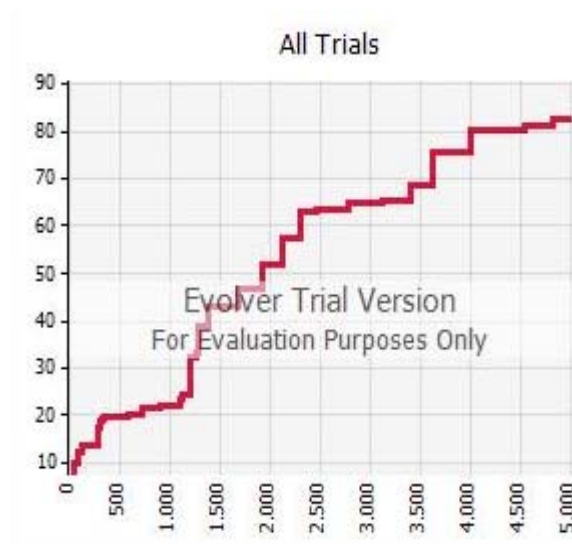


Figura 51 – Evolução do resultado da carteira otimizada pela função Probabilidade Área Total

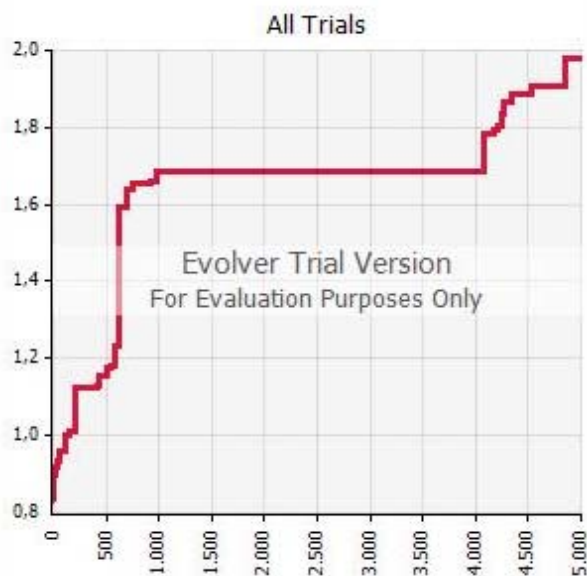


Figura 52 – Evolução do resultado da carteira otimizada pela função Omega

## 10.6

### Apêndice 6: Histórico do IBOVESPA

Na figura 53 temos o gráfico do histórico de fechamentos diários do IBOVESPA de Janeiro de 2005 até Julho de 2010, período utilizado para o desenvolvimento deste trabalho.

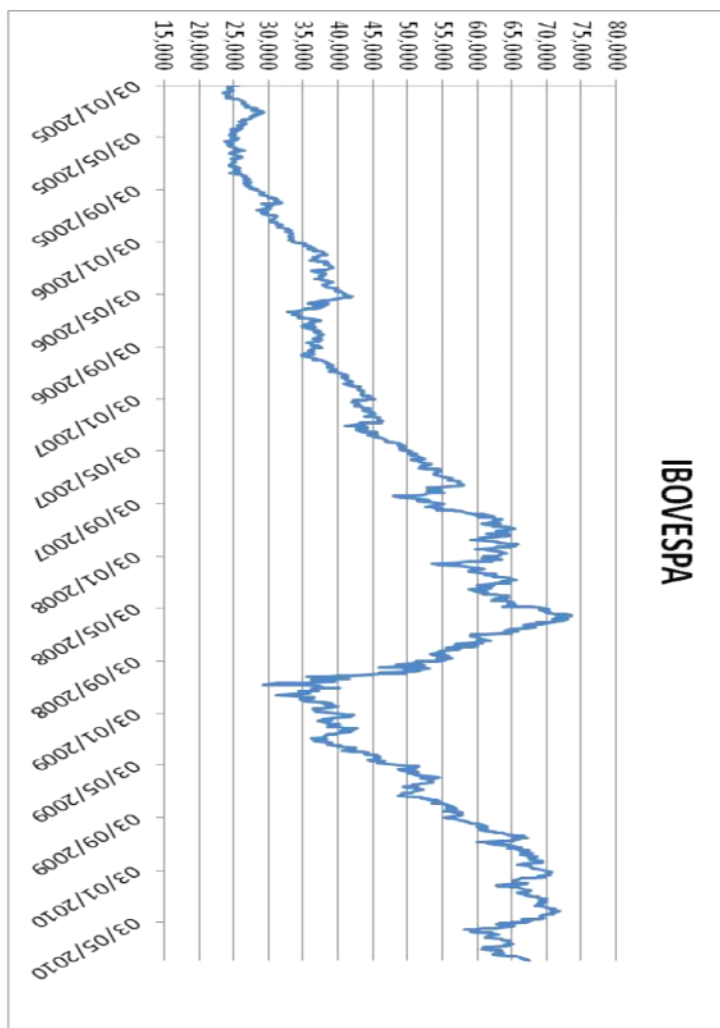


Figura 53 – Histórico de Fechamento Diário do IBOVESPA.

## 10.7

## Apêndice 7: Estatística da Regressão Quadrática

Na Tabela 34 a seguir podemos ver as estatísticas da regressão quadrática realizada entre as 49 cestas de volatilidade histórica, com um período de cálculo de 30 dias, e a volatilidade futura resultante.

Pode-se ver pelo *Stat T* que os coeficientes da regressão são significantes.

Tabela 34 – Estatísticas da Regressão

<i>Estatística de regressão</i>	
R múltiplo	0,985574455
R-Quadrado	0,971357007
R-quadrado ajustado	0,970111659
Erro padrão	0,044198676
Observações	49

## ANOVA

	<i>gl</i>	<i>SQ</i>	<i>MQ</i>	<i>F</i>	<i>F de significação</i>
Regressão	2	3,04745163	1,523726	779,9886974	3,24656E-36
Resíduo	46	0,089862055	0,001954		
Total	48	3,137313685			

	<i>Coefficientes</i>	<i>Erro padrão</i>	<i>Stat t</i>	<i>valor-P</i>	<i>95% inferiores</i>	<i>95% superiores</i>	<i>Inferior 95,0%</i>	<i>Superior 95,0%</i>
Interseção	0,048858228	0,028552439	1,711175	0,093785064	-0,008614852	0,106331307	-0,008614852	0,106331307
Variável X 1	0,977238347	0,087014527	11,23075	8,93764E-15	0,802087189	1,152389505	0,802087189	1,152389505
Variável X 2	-0,18100799	0,057500429	-3,14794	0,002884889	-0,296750348	-0,065265625	-0,296750348	-0,065265625